

О СВЯЗАННЫХ СОСТОЯНИЯХ ЭЛЕКТРОНОВ (ДЫРОК) НА КВАДРАТНОЙ РЕШЕТКЕ И ИХ СВЕРХТЕКУЧЕСТЬ

Г.В.Уймин, Л.А.Максимов¹⁾, А.Ф.Барабанов²⁾

Предложена микроскопическая модель типа Хаббарда, в рамках которой исследован спектр двухчастичных электронных состояний. Найдены условия существования связанных состояний с несвязанными. Обсуждаются критерии сверхтекучести.

Эксперименты¹ показывают, что основные свойства высокотемпературных сверхпроводников определяются электронами медно-кислородных слоев CuO_2 , причем дырки, возникающие в результате допирования, принадлежат кислородной зоне. Это обстоятельство последовательно учитывается в рамках обобщенной модели Хаббарда^{2, 3}, которая использовалась в предыдущей работе авторов⁴ при изучении спектра дырочных возбуждений. В случае сильной гибридизации p - и d -состояний, как указывалось в работе³, обобщенная модель Хаббарда сводится к обычной сrenomированными значениями кулоновской U и перескоковой t энергий. Элементарная ячейка Γ в этом случае состоит из одного иона меди и его кислородного окружения. Локализованная на ионе меди дырка образует почти синглетное состояние со свободной дыркой, размазанной по кислородному окружению данного иона. "Перескоки" указанного комплекса формируют дырочную зону⁴. Приближенно этот вари-

¹⁾ Институт атомной энергии им. И.В.Курчатова.

²⁾ Институт физики высоких давлений АН СССР.

ант может быть описан гамильтонианом:

$$\mathcal{H} = - \sum_{\langle \mathbf{r}, \mathbf{r}' \rangle, \sigma} a_{\mathbf{r}\sigma}^+ a_{\mathbf{r}'\sigma} (t + \tau(n_{\mathbf{r}-\sigma} + n_{\mathbf{r}'-\sigma})) + \sum_{\mathbf{r}} U n_{\mathbf{r}}^+ n_{\mathbf{r}}^-. \quad (1)$$

Здесь $a_{\mathbf{r}\sigma}$ ($a_{\mathbf{r}\sigma}^+$) — фермиевские операторы уничтожения (рождения) дырки в ячейке \mathbf{r} . Обозначение $\langle \mathbf{r}, \mathbf{r}' \rangle$ принято для ближайших ячеек. Величина τ описывает изменение амплитуды перескока t , связанное с образованием или распадом в одной ячейке двухчастичного (2ч) состояния, характеризуемого энергией U . Естественно, что в нашем подходе "хаббардовская" энергия U , так же, как и τ , имеет порядок t . Далее мы будем рассматривать случай слабо заполненной зоны ($nU \ll t$), при котором можно отвлечься от проблемы хаббардовской щели. Одночастичные (1ч) состояния гамильтониана (1) имеют спектр:

$$\epsilon(\mathbf{R}) = -2t(\cos(K_x) + \cos(K_y)) \quad (2)$$

(постоянная решетки принята за единицу). Спектр синглетных 2ч состояний $E(\mathbf{Q})$ с суммарным волновым вектором \mathbf{Q} определяется из уравнения:

$$\theta U + (1 - \theta)E = W^{-1}(E; \mathbf{Q}), \quad (3)$$

где $\theta = (1 + \tau/t)^{-2}$, а

$$W(E; \mathbf{Q}) = \int d^2 K (E - \epsilon(K) - \epsilon(K - \mathbf{Q}))^{-1} / (2\pi)^2. \quad (4)$$

Уравнение (3) можно получить, решая 2ч уравнение Шредингера, либо определяя полюса 2ч функции Грина. Легко видеть, что (3) симметрично относительно одновременной замены $U \rightarrow -U$ и $E \rightarrow -E$, а спектр $E(\mathbf{Q})$ полностью задается своими значениями в области $\pi \geq Q_y \geq Q_x \geq 0$. Заметим, что уравнение (3) содержит сплошной спектр решений, который отвечает 2ч несвязанным состояниям с импульсами $\mathbf{Q} = \mathbf{k}_1 + \mathbf{k}_2$ и энергиями $E = \epsilon(\mathbf{k}_1) + \epsilon(\mathbf{k}_2)$. Эти решения ограничены поверхностями:

$$E = \pm A(\mathbf{Q}), \quad A(\mathbf{Q}) = 4t(|\cos(Q_x/2)| + |\cos(Q_y/2)|). \quad (5)$$

На рис. 1 изображено сечение $Q_x = Q_y$. Область несвязанных состояний заштрихована. Кроме сплошного спектра уравнение (3) может иметь при фиксированном \mathbf{Q} дискретные решения $E(\mathbf{Q})$. Этим состояниям соответствуют волновые функции, экспоненциально спадающие при увеличении расстояния между частицами. Если $E(\mathbf{Q}) < -8t$, то это стабильное 2ч состояние. При $E(\mathbf{Q}) > -8t$ связанное состояние метастабильно и может распадаться на несвязанные состояния сплошного спектра при передаче импульса (энергии) третьей частице или фону (аналогия — экситон в полупроводнике).

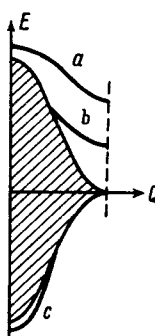


Рис.1.

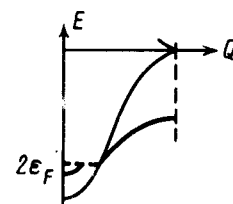


Рис. 2. Один из видов деформации моды b в случае $U < 0$.

В области существования связанных состояний $|E| > A(Q)$ величина W^{-1} отлична от нуля и равна

$$W^{-1}(E; Q) = 0,5\pi \operatorname{sign}(E)(E^2 - B^2)^{1/2} K^{-1}(R), \quad (6)$$

где $B = 4t(|\cos(Q_x/2)| - |\cos(Q_y/2)|)$, $R^2 = (A^2 - B^2)/(E^2 - B^2)$, а $K(R)$ – полный эллиптический интеграл. Легко увидеть, что всегда имеется дискретное решение уравнения (3) в точке $Q = (\pi, \pi)$:

$$E(\pi, \pi) = U.$$

Пусть для определенности $U > 0$ и $\theta > 1$. Последнее означает, что амплитуда $(t + \tau)$ слияния двух частиц в одну ячейку меньше амплитуды перескока t . Тогда при выполнении неравенства

$$U > U_0 = 8t(1 - \theta^{-1}) \quad (7)$$

существует мода a дискретных состояний, которая при всех Q находится над сплошным спектром (см. рис. 1, кривая a). Обратим внимание, что спектр 2ч возбуждений при $U > 8t$ является двухзонным, в то время, как спектр 1ч возбуждений (2) остается однозонным даже в пределе $U \gg t$ (но $nU < t$).

Если условие (7) не выполнено, то дискретная мода b (кривая b , рис. 1) сливается со сплошным спектром по изолинии

$$E_c(Q) = A_c(Q) = U(1 - \theta^{-1}). \quad (8)$$

При $\theta < 1$ уравнение (3) имеет изолированную моду типа a и кроме того при $0 < U < |U_0|$ имеет еще одну дискретную моду c (кривая c , рис. 1), которая сливается со сплошным спектром вдоль линии (8), но $E_c < 0$! Эта мода имеет минимум в точке $(0, 0)$:

$$E(0, 0) = -8t - \Delta, \quad \Delta = 64t \exp(-1/\lambda). \quad (9)$$

В случае U близкого к $|U_0|$ $\lambda = \pi^{-1}(1 - \theta)(1 - U/|U_0|)$, а эффективная масса связанныго возбуждения $m \approx t^{-1}$.

Стабильные связанные состояния существуют и для локального одноячеичного притяжения при $\theta < 1$ для всех $U < 0$, а при $\theta > 1$ для $U < -|U_0|$. Картинка, изображенная на рис. 1, для этого случая должна быть отражена относительно плоскости (Q_x, Q_y) .

Все упомянутые здесь связанные 2ч состояния отвечают бозевской статистике и при низких температурах $T < T_c \approx nT$ могут образовать сверхтекучий газ. Проведенный анализ справедлив, пока характерная кинетическая энергия ($\propto nT$) мала по сравнению с энергией связи Δ , или, что то же самое, размер составных бозе-частиц много меньше расстояния между ними. В обратном случае следует учитывать деформацию связанного состояния, обусловленную фермиевским заполнением 1ч состояний. Уравнения (3) – (4) в этом случае видоизменяются:

$$\theta U + (1 - \theta)E + 4\tau^2 t^{-1} I_1 \theta = W^{-1}, \quad (3')$$

где $\theta = (1 + \tau t^{-1} I_0)^{-2}$, $W = (2\pi)^{-2} \int d^2 R (E - \epsilon(k) - \epsilon(k - Q))^{-1}$,

$$I_0 = (2\pi)^{-2} \int d^2 K, \quad I_1 = (2\pi)^{-2} \int d^2 K (\cos(K_x) + \cos(K_y)) \quad (4')$$

причем интегрирование в формуле (4') ведется по области $\epsilon(k) > \epsilon_F$ и $\epsilon(k - Q) > \epsilon_F$.

Подробный анализ такой задачи Купера будет представлен в отдельной публикации (см. также рис. 2). Из этого анализа следует, в частности, что с ростом концентрации n энергия связи куперовской пары уменьшается для моды c и увеличивается в случае моды b (при $U < 0$).

В конце для анализа задачи воспользуемся теорией БКШ. Гамильтониан (1) в импульсном представлении имеет следующий вид:

$$\mathcal{H} = \sum_{\mathbf{k}} \xi(\mathbf{k}) a_{\mathbf{k}\sigma}^+ a_{\mathbf{k}\sigma} + (2N)^{-1} \sum_{\{\mathbf{k}\}} \lambda(\{\mathbf{k}\}) a_{\mathbf{k}_1\sigma}^+ a_{\mathbf{k}_2-\sigma}^+ a_{\mathbf{k}_3-\sigma} a_{\mathbf{k}_4\sigma}, \quad (10)$$

где $\xi(\mathbf{k}) = \epsilon(\mathbf{k}) - \mu$, $\lambda(\{\mathbf{k}\}) = U + \sum_i \tau_{\mathbf{k}_i}$, $\tau_{\mathbf{k}} = -2\tau (\cos(K_x) + \cos(K_y))$. Уравнение для щели хорошо известно:

$$\Delta_{\mathbf{k}} = -(2N)^{-1} \sum_{\mathbf{k}_1} \Delta_{\mathbf{k}_1} \lambda(\mathbf{k}, \mathbf{k}, \mathbf{k}_1, \mathbf{k}_1) E^{-1}(\mathbf{k}_1) \operatorname{th}(E(\mathbf{k}_1)/(2T)), \quad (11)$$

где $E(\mathbf{k}) = (\xi^2(\mathbf{k}) + \Delta^2(\mathbf{k}))^{1/2}$ – спектр элементарных возбуждений. Из уравнения (11) следует, что $\Delta_{\mathbf{k}} = D_0 + D_1 \tau_{\mathbf{k}}$.

Поскольку в нашей модели параметры (U, t, τ) могут иметь одинаковый порядок величины, то при $T=0$ в решении уравнения (11) нельзя ограничиться обычным логарифмическим приближением. Однако, когда $T \rightarrow T_c$ щель стремится к нулю и это становится возможным. В этом случае $D_0 = D_1 (U + 2\tau_F)/2$, $\tau_F = \mu\tau/t$ и

$$1 = -(2N)^{-1} (U + 4\tau_F) \sum_{\mathbf{k}} E^{-1}(\mathbf{k}) \operatorname{th}(E(\mathbf{k})/(2T)). \quad (12)$$

Мы видим, что уравнение для щели имеет обычный вид, причем роль эффективной константы взаимодействия играет значение λ на поверхности Ферми:

$$\lambda_{\text{эфф}} = U + 4\mu\tau/t. \quad (13)$$

Решение уравнения (13) существует, когда $\lambda_{\text{эфф}} < 0$. Если $U < 0$, то необходимо $\mu < |U|t/(4\tau)$, т.е. в принципе зона $\epsilon(\mathbf{k})$ может быть заполнена больше, чем наполовину. Если же $U > 0$, то энергия Ферми должна быть отрицательной и $|\mu| > |U|t/(4\tau)$. Поскольку $|\mu|$ в данной модели не может быть больше $4t$, то при $U > 0$ сверхтекущее состояние существует, только если

$$U < 16\tau. \quad (14)$$

Литература

1. *Tranquada J.M. et al.* Phys. Rev. B, 1987, 35, 7187; *Fujimori A. et al.* Phys. Rev. B, 1987, 35, 8814; *Nucker N. et al.* Z. Phys. B, 1987, 67, 9.
2. *Varma C.M., Schmitt-Rink S., Abrahams E.* Sol. St. Comm., 1987, 62, 681; *Emery V.J.* Phys. Rev. Lett., 1987, 58, 2794; *Hirsch J.E.* Phys. Rev. Lett., 1987, 59, 228.
3. *Zhang F.C., Rice T.M.* Phys. Rev. B, 1988, 37, 3759.
4. *Барабанов А.Ф., Максимов Л.А., Уймин Г.В.* Письма в ЖЭТФ, 1988, 47, 532.

Поступила в редакцию

13 июня 1988 г.

После переработки

28 июля 1988 г.